

三陸海岸吉浜における波浪推算

東北大学工学部	正会員	佐藤 弘
東北大学大学院	○学生会員	青木 信也
東北大学工学部	学生会員	西宮 宜昭

1はじめに

吉浜海岸は、三陸海岸吉浜湾の湾奥に在り、両端を岩礁に囲まれた砂浜海岸である。最近、この海岸の汀線が後退していることが報告されているので、当研究室は、昨年10月に現地観測を行ない諸量を調査した。吉浜湾では、過去に波浪観測が行なわれなかつたため観測データが全くなく、汀線変化を定量的に評価できなかつた。そこで、我々は三陸海岸における他の地点での過去の波浪観測データの利用による評価を試みた。これは、その中間報告である。

2 沖浪波浪の推定

昨年10月の現地観測における吉浜海岸の波高は、直結型水圧式波高計を、海岸から約500m、水深12.0mの地点に設置し観測したもので、その観測結果をFig-1に示す。ただし、波高・周期は、有義波の波高・周期で、6時間平均値を記入してある。吉浜における観測期間と同じ期間の波浪観測データを、他の3地点(島之越 築石・江ノ島)から集めて、Fig-1に記入した。この期間には、低気圧が三陸沖東方海上を通過したため、10日に強い西風が吹込み、その結果、周期が一時減少している。その後、徐々に南へ東の風に変わり、波高が増大し、10日から11日にかけて波高がピークに達するなど、4地点とも傾向が一致している。そこで、吉浜の波高・周期に対する他の3地点の波高・周期の比をとり、その平均値を各々、 \bar{R}_H 、 \bar{R}_T 、また、それに対する標準偏差を各々、 σ_H 、 σ_T として比較すればTable-1のようになる。これによれば、波高・周期とも標準偏差は、島之越の場合が一番小さく、吉浜のデータに対するばらつきが小さいと言える。また、 \bar{R}_H 、 \bar{R}_T の値から、波高は吉浜のおよそ2倍、周期はほぼ同じであることがわかる。ところで、吉浜で行なった現地観測の深浅測量と、海上保安庁水路部の海図をもとに、吉浜湾の等深線図を作成し、吉浜湾での卓越波向を考えられるEとSEに対して、周期を80sec、

100sec、120secと計6ケースについて屈折図を描いた。吉浜湾における屈折図の例として、E: 100secとSE: 100secを各々Fig-2a,bとFig-3a,bに示した。 α は吉浜湾深部、 β は吉浜海岸浅部を示す。これらの屈折図から、吉浜の波高計設置点付近の屈折係数を求めるに、いずれの場合も0.5~0.6であることがわかった。これらのことから、島之越の観測データをそのまま吉浜の沖浪としてかまわないと見える。以後、島之越の波浪データを吉浜の沖浪波浪データとして取扱うこととする。

3 波浪データの解析

昭和53年における沖浪波浪データを、波高・周期別に頻度分布をヒリ、さらに沖浪輸送エネルギーを計算してそれぞれの割合を図示すると、Fig-4, Fig-5の様になる。昨年は、三陸沖に大型の低気圧の襲来がなく、

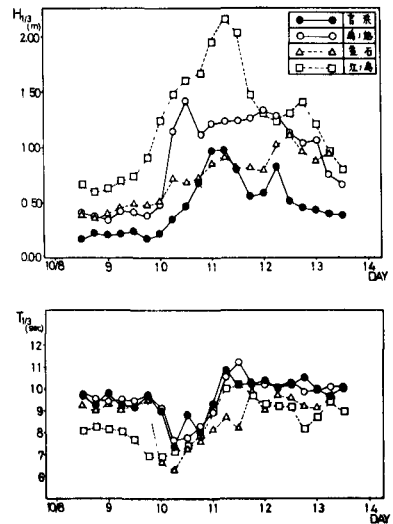


Fig-1

Table-1

	\bar{R}_H	σ_H	\bar{R}_T	σ_T
島之越	2026	0.502	1.001	0.043
築石	1750	0.528	0.912	0.073
江ノ島	2986	0.988	0.882	0.075

静穏な日が比較的多く続いたため、沖波有義波の出現頻度は、1m以下に73%が集中しており、2m以上は3%に過ぎない。卓越する周期は、9.0~9.9 sec, 10.0~10.9 secで、全体の60%を占めている。さらに8.0~8.9 sec, 11.0~11.9 secを含めれば、実に90%以上になる。沖波輸送エネルギーは、 $29.6 \times 10^6 \text{ ton m/year/m}$ になり、年間の沖波輸送エネルギーとしては、特に小さい値ではない。

4 吉浜海岸におけるエネルギー分布

沿岸における漂砂量は、入射する波のエネルギーの頭数であると考えられるから、海岸線に対する入射エネルギーの分布を知ることは重要である。沖波波高に対して、合田の新碎波指標と屈折係数を用いて碎波水深(h_b)と碎波波高(H_b)を求め、次式で単位幅当たりの輸送エネルギーを計算する。

$$EG = \frac{1}{16\pi} \omega g H_b^2 T \tanh \frac{2\pi h_b}{L} \cdot n$$

$$n = \frac{1}{2} \left[1 + \frac{4\pi h_b / L}{\sin(4\pi h_b / L)} \right]$$

吉浜海岸の各碎波点に対して、年間の輸送エネルギー総量を求める、Fig-6の様になる。碎波点でのエネルギーは、沖波の場合の約1/3²、分布はほぼ一様であるが、Eの方がESEの方よりも大きく、また、海岸線の北側から南側に向って減少する傾向にある。このことから、漂砂方向や漂砂量が推定できよう。

5 あらがき

以上、短期間の吉浜の波浪実測データを他の実測データと比較し、島之越の観測データを吉浜の沖波データと考えることによって、碎波点での輸送エネルギーの算出を試みたが、島之越のデータが昨年1年間だけのものであったことは、波浪データが毎年で大きく変動することを考慮すれば、不十分であると言えるので、今後過去のデータをできるだけ収集し、解析を試みる必要があろう。また、島之越のデータが実際に吉浜の沖波として適切かどうかを、今後とも実測によって比較検討する必要があろう。

最後に、終始適切な御指導をいただいた東北大学教授、岩崎敏夫博士と、観測資料を御提供下さった関係各機関に対し、厚く御礼申し上げます。

参考文献 合田良実：碎波指標の整理について、土木学会論文報告集第180号、P39~P49

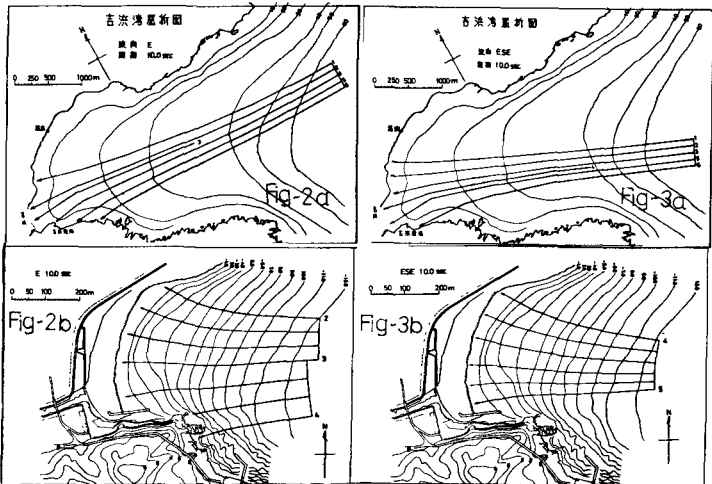


Fig-2a

Fig-3a

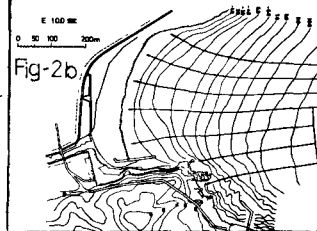


Fig-2b

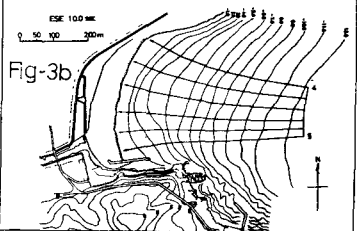


Fig-3b

Fig-4

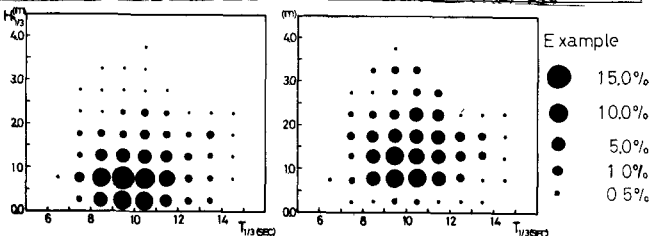


Fig-5

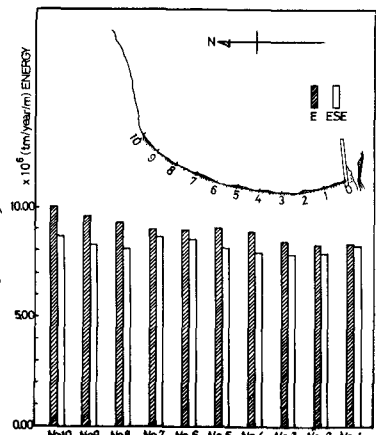


Fig-6